



Сейсмическая эмиссия на испытательном полигоне Пхунгери в КНДР продолжается в 2025 году

Виноградов¹ Ю.А., <u>Китов</u>² И.О., Санина² И.А., Соколова¹ И.Н.

¹ Единая геофизическая служба Российской академии наук, Обнинск, Россия

² Институт динамики геосфер им. Садовского Российской академии наук, Москва, Россия E-mail: ikitov@mail.ru



Взрывы на полигоне Пунгери: 2006-2017 Оценки Международного центра данных



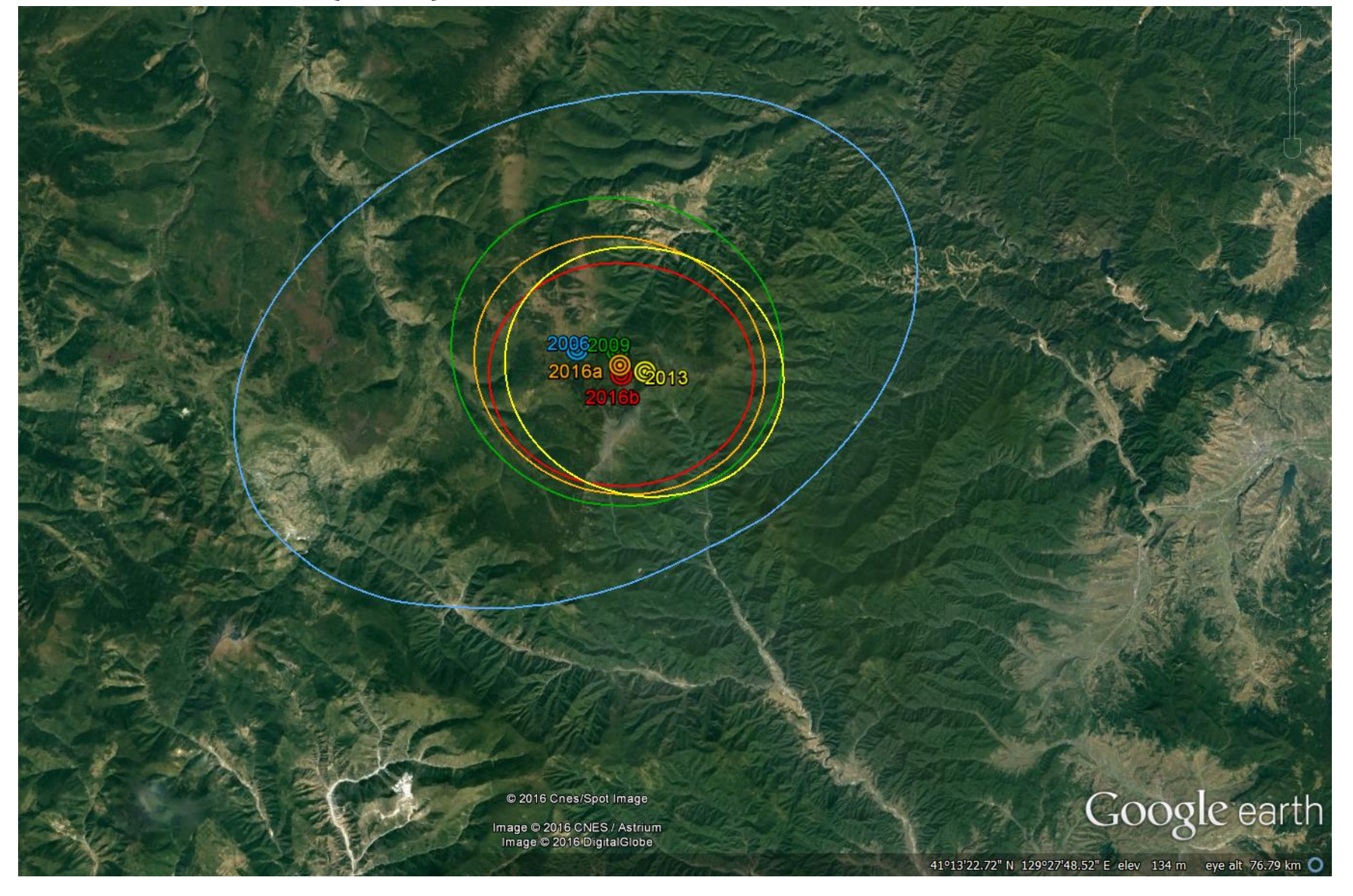
Взрыв	Дата	Время в источни ке	Широта, град.	Долгота, град.	Ndef	$m_{\rm b}$	Ms	ML	Smaj, км	Smin, км	азимут, град.	Площадь эллипса, кв. км
КНДР1 (09.10.2006	01:35:28	41.312	129.019	22	4.08	-	3.89	20.6	13.6	67.2	880.15
КНДР2	25.05.2009	00:54:43	41.311	129.046	72	4.51	3.56	4.27	9.6	8.8	104.4	265.40
КНДРЗ	12.02.2013	02:57:51	41.301	129.065	110	4.92	3.95	4.52	8.1	7.1	106.6	180.67
КНДР4	06.06.2016	01:30:00	41.304	129.048	102	4.82	3.92	4.61	8.4	7.3	104.3	192.64
кндр5 (09.09.2016	00:30:01	41.299	129.049	120	5.09	4.17	4.29	7.6	6.4	91.6	152.81
кндр6 (03.09.2017	03:30:01	41.320	129.035	189	6.07	4.91	5.17	6.7	5.2	88.1	109.45

Магнитуда взрывов росла от первого к шестому. Третий взрыв был немного выше четвертого по магнитуде. Магнитуда шестого взрыва достаточно велика, чтобы наблюдать возможные афтершоки на телесейсмических расстояниях на сейсмических группах МСМ.



Взрывы на полигоне Пунгери: эпицентры и доверительные эллипсы Международного центра данных (МЦД)

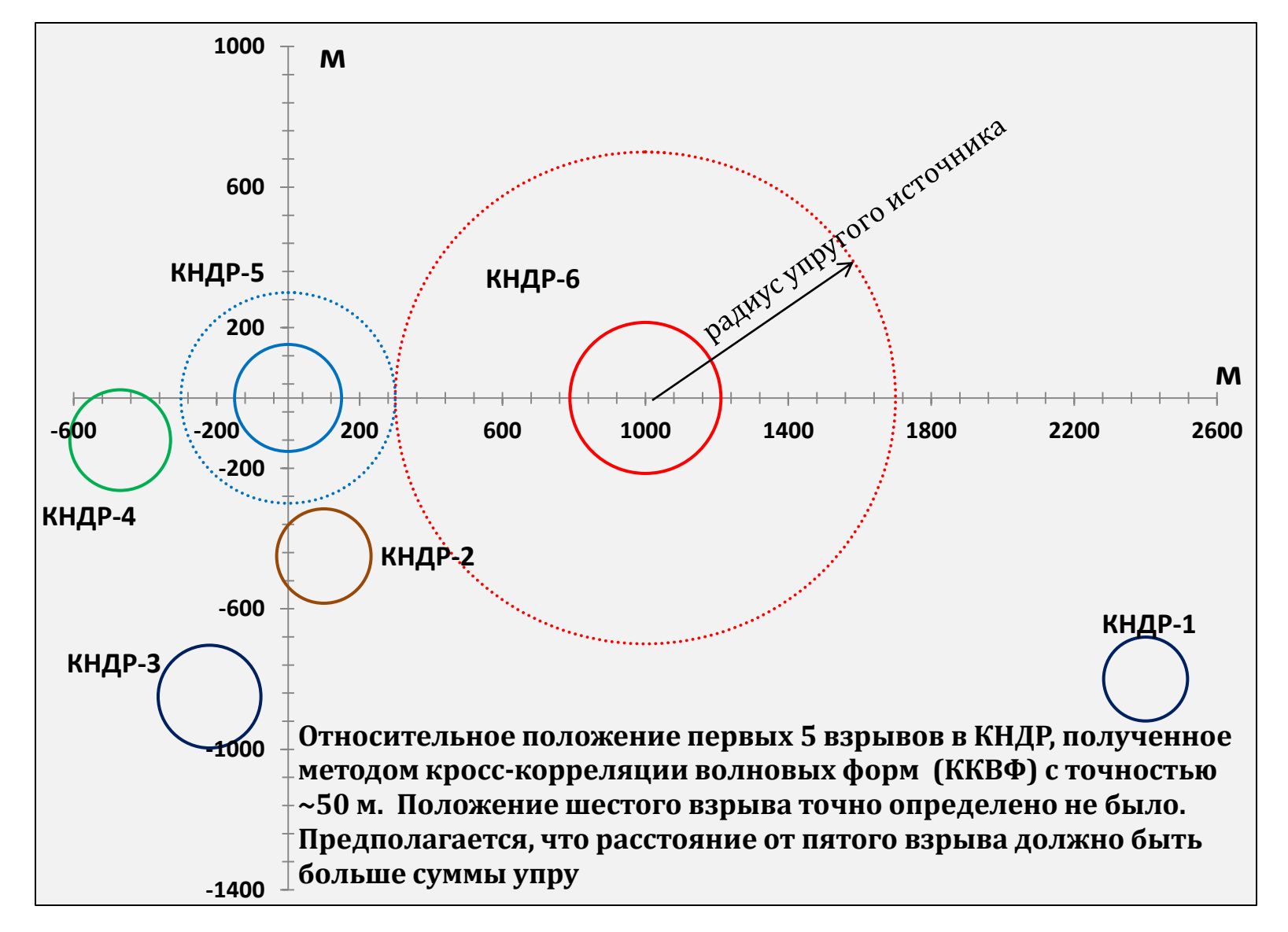






Относительное положение взрывов, определенное с помощью кросс-корреляции сигналов на станциях MCM







Взрывы на полигоне Пунгери: геология



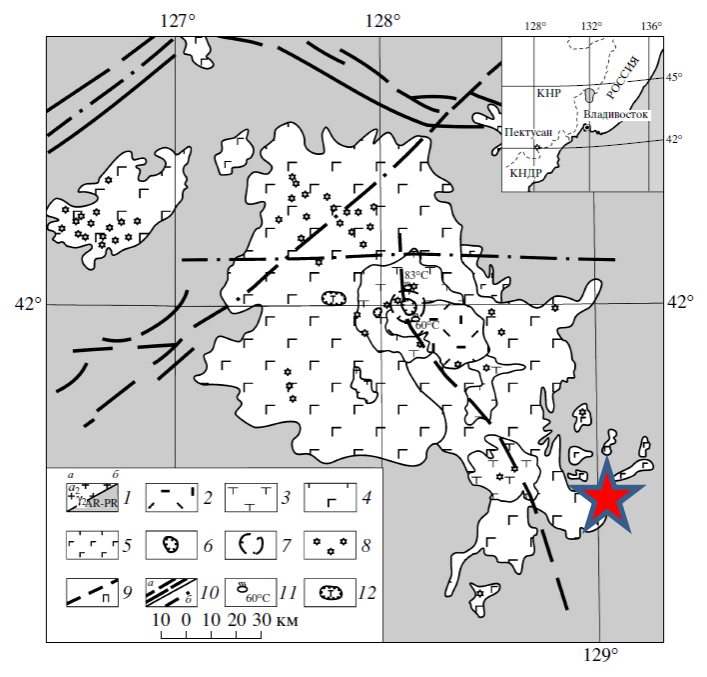


Рис. 1. Схема геологического строения вулкана Пектусан составлена на основе геологических карт и космических снимков (Маgmatic map of Jilin Province, China. М-6 1000000, 1989; 7). I — фундамент: a — мезозойские граниты, δ — архейско-протерозойские комплексы; 2 — комендит-риолитовые пеплы (1903 г. извержения); 3 — тражиты; 4 — базальты щитового вулкана; 5 — базальтовое плато (миоцен—палеоген); δ — кальдера, заполненная оз. Тянчи; 7 — внешняя кальдера; δ — жерловины моногенных базальтовых вулканов; 9 — Пектусанский разлом; 10 — разломы системы Таньлу; 11 — горячие источники и их температура; 12 — трубки взрывов.

Геологическое строение полигона сложное. ИИ: «Стратифицированные вулканические породы в КНДР представляют собой слои вулканического пепла, туфов и лав, такие как четвертичные базальтовые и риолитовые отложения на горе Мантап на ядерном полигоне Пунге-ри. Эти отложения мягкие, подвержены эрозии и вызывают деформацию земной поверхности при подземных взрывах.»

ДОКЛАДЫ АКАДЕМИИ НАУК, 2007, том 412, № 2, с. 226–233

= ГЕОЛОГИЯ

УДК 552.313.554

ВУЛКАН ПЕКТУСАН: ХРОНОЛОГИЯ ИЗВЕРЖЕНИЙ, СОСТАВ И ЭВОЛЮЦИЯ МАГМ НА ОСНОВЕ К-Ar-ДАТИРОВАНИЯ И ИЗОТОПОВ 87 Sr/ 86 Sr и δ^{18} O

© 2007 г. Член-корреспондент РАН В. Г. Сахно

Science & Global Security, 23:101–120, 2015 DOI: 10.1080/08929882.2015.1039343 Revised Geologic Site Characterization of the North Korean Test Site at Punggye-ri David Coblentz and Frank Pabian

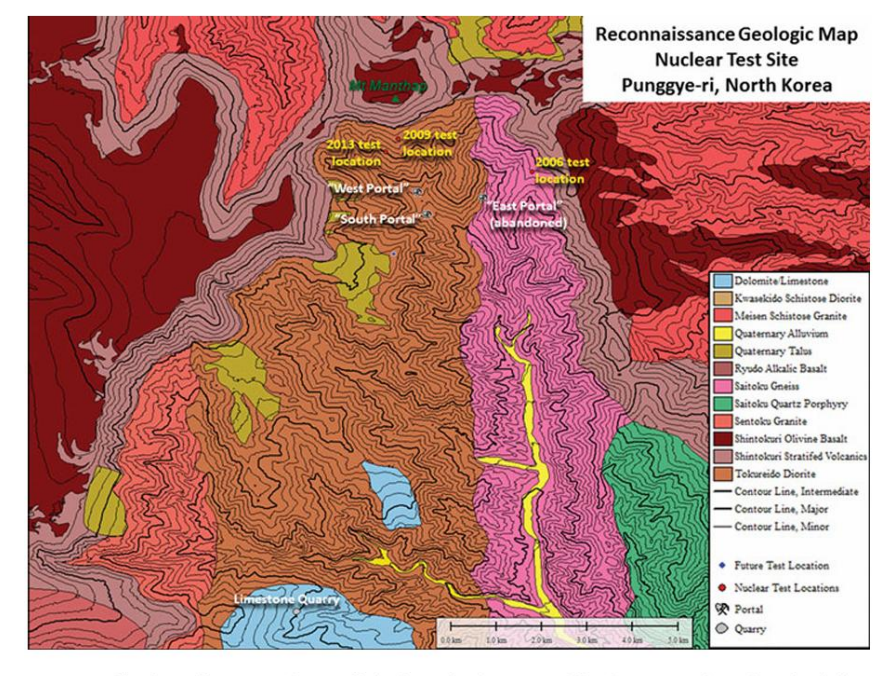
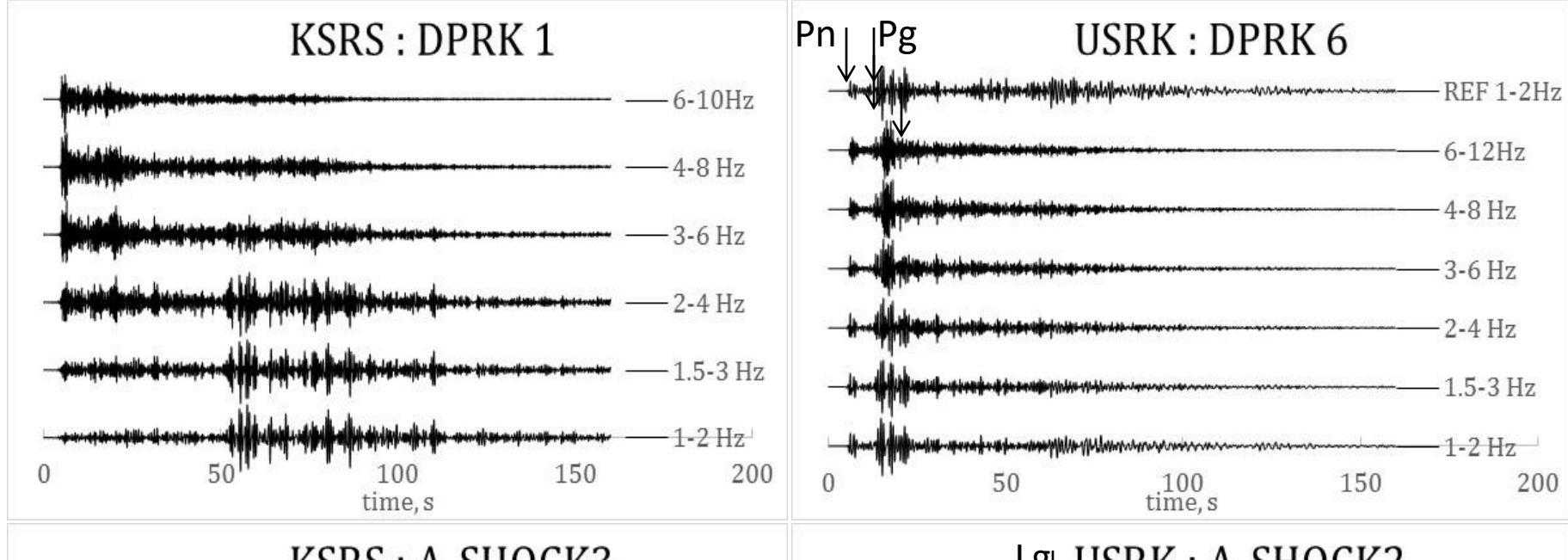


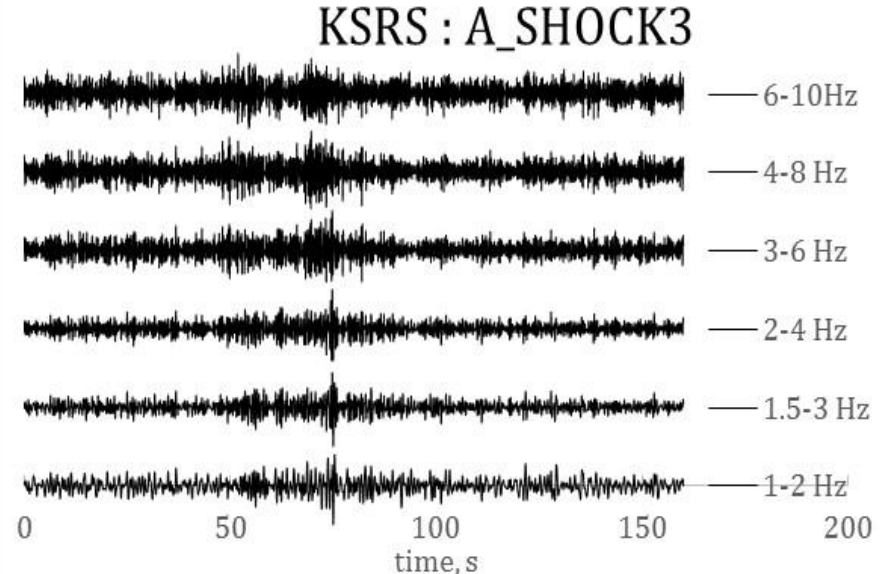
Figure 5: The local large scale predicted geologic map of the Punggye-ri nuclear test site derived from the various sources of geologic data and terrain analysis discussed in the text.

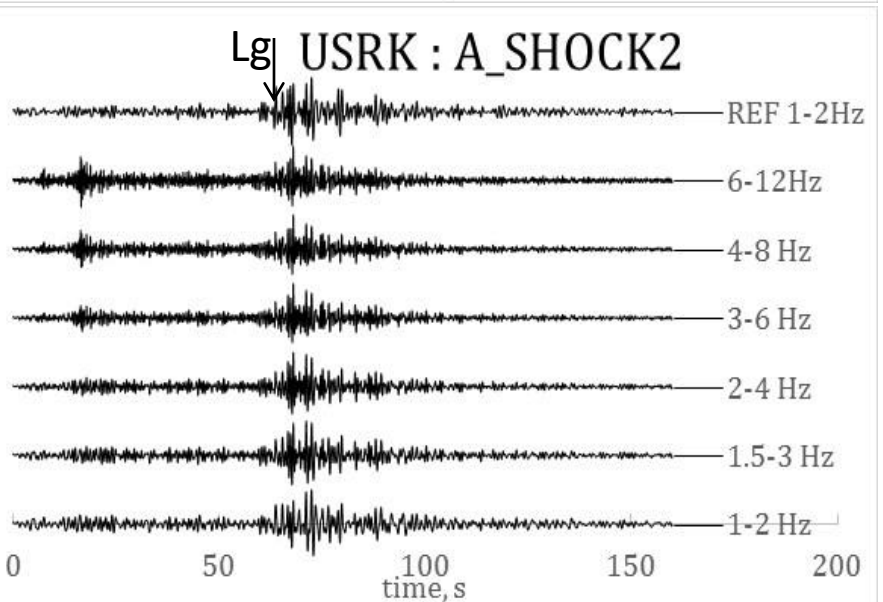


Волновые формы от взрывов и афтершоков





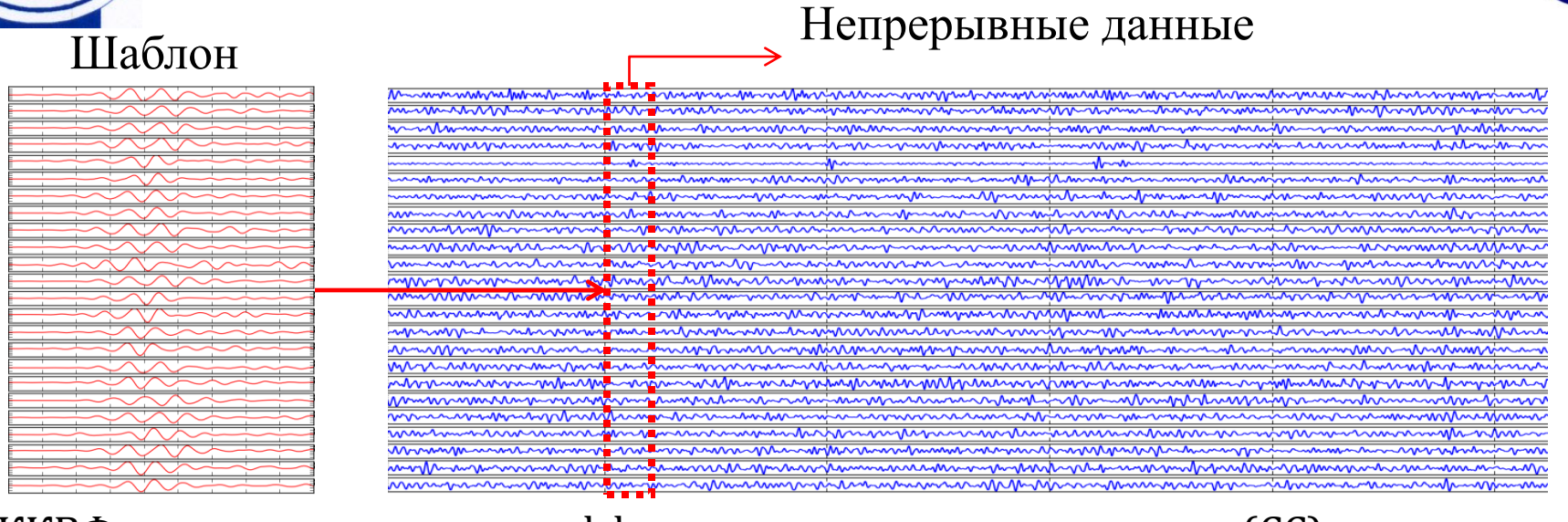




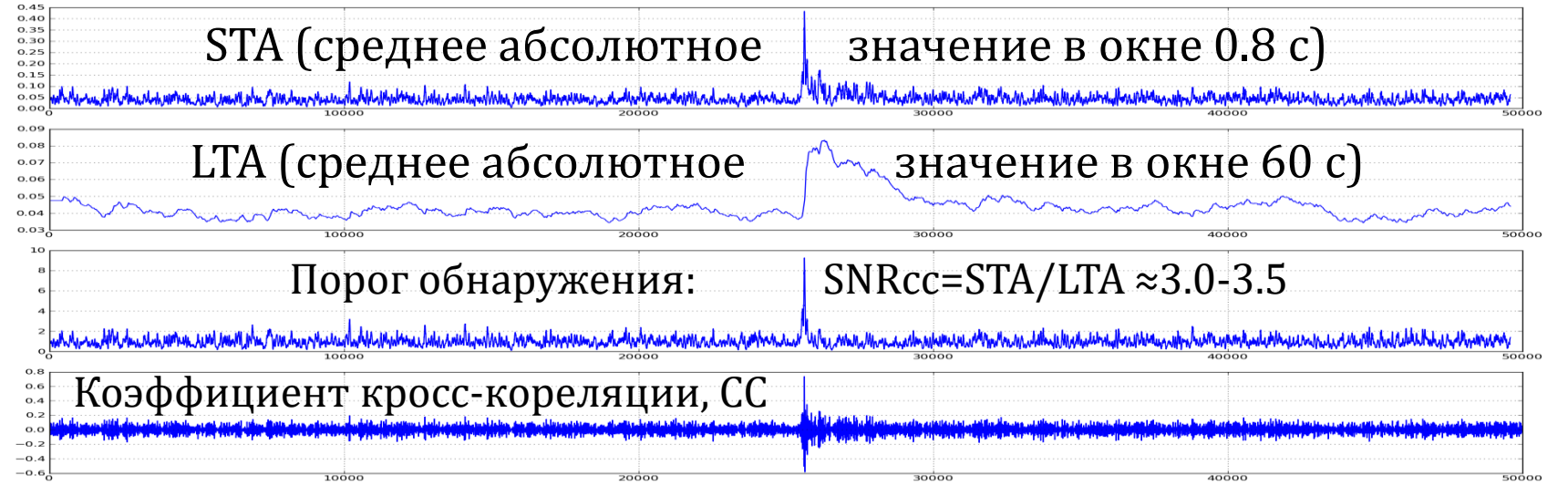


Кросс-корреляция волновых форм (ККВФ)





ККВФ создает трассу коэффициента кросс-корреляции (СС), к которому применяется стандартная процедура детектирования по превышению порога SNR (STA/LTA)

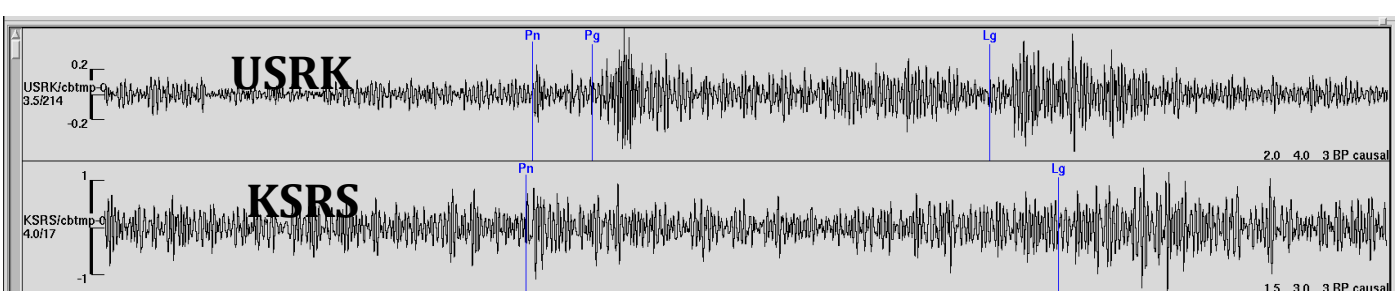


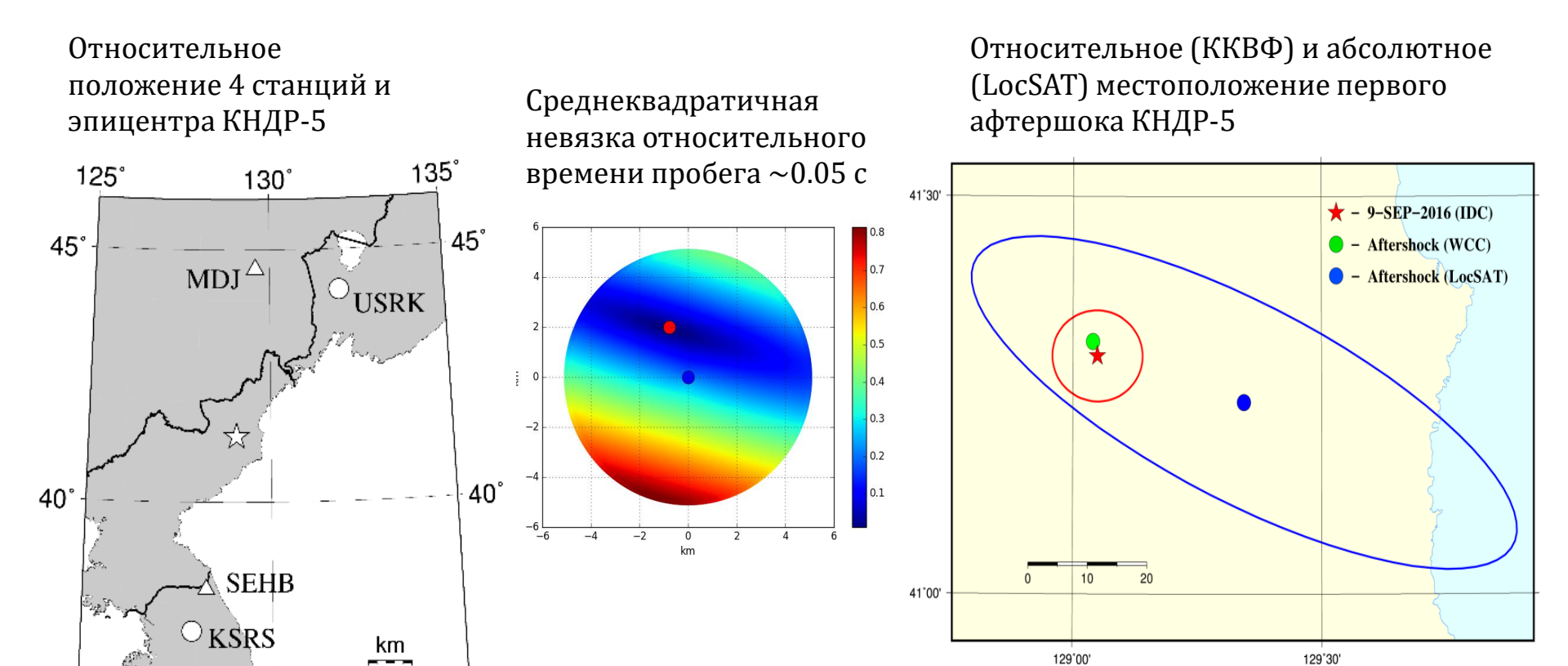


125°

Обнаружение первого афтершока КНДР-5 11.09.2016







0 100

130°

135°



6 взрывов и 23 афтершока для мульти-мастер метода

KSRS

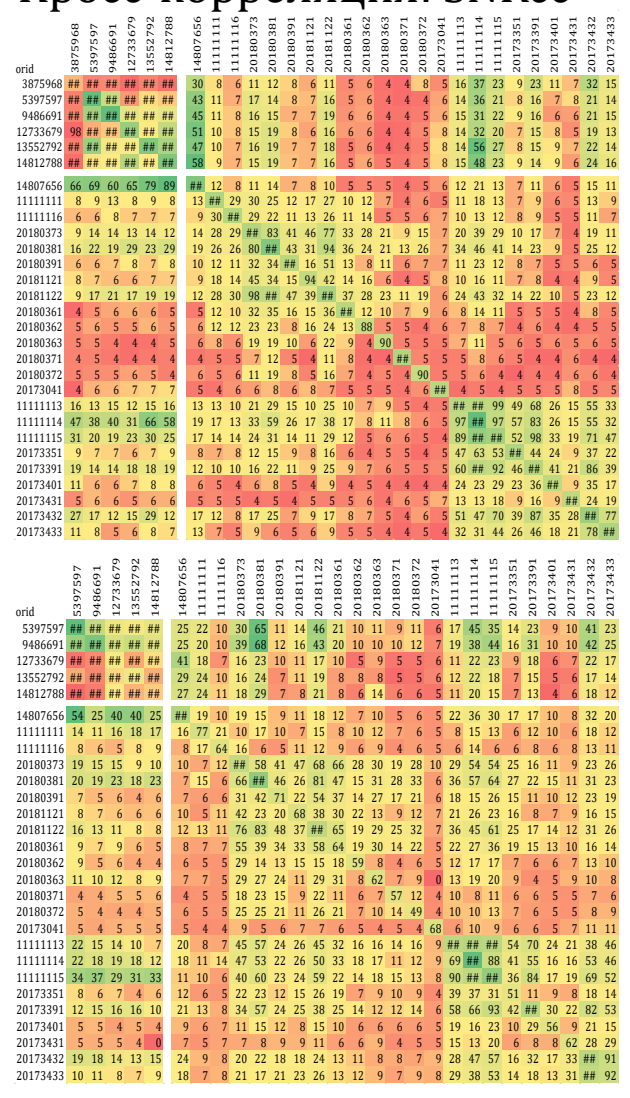
USRK

EIC PAH

23 афтершока

Date	Time	mb(Lg-scaled)	IDC LEB origin ID
September 11, 2016 (A_SHOCK1)	1:50:48AM	2.83	13558133
September 3, 2017 (A_SHOCK2)	3:38:31 AM	4.11	14807656
September 3, 2017 (A_SHOCK6)	9:31:28AM	2.59	
September 23, 2017 (A_SHOCK3)	4:42:58AM	3.08	14892975
September 23, 2017 (A_SHOCK4)	8:29:14AM	3.74	14892904
October 12, 2017 (A_SHOCK5)	4:41:06 PM	3.33	14968848
October 31, 2017	10:20:13 AM	2.51	
December 1, 2017	10:45:54 PM	2.91	
December 5, 2017	2:40:52 PM	3.14	15176138
December 6, 2017	4:20:05 PM	2.59	
December 9, 2017	6:08:40AM	2.78	15189602
December 9, 2017	6:13:31 AM	3.44	15185217
December 9, 2017	6:40:00AM	3.06	15185213
February 5, 2018	10:32:30AM	2.74	
February 5, 2018	8:07:29 PM	2.93	
February 5, 2018	9:57:35 PM	2.90	
February 6, 2018	4:49:36AM	2.70	
February 6, 2018	10:12:30AM	2.68	
February 6, 2018	10:53:52 AM	3.09	
February 7, 2018	9:46:23 PM	3.36	15428296
February 8, 2018	5:39:17 PM	2.69	
April 22, 2018	7:25:08 PM	2.76	15724447
April 22, 2018	7:31:18 PM	3.07	15724134

Кросс-корреляция: SNRcc

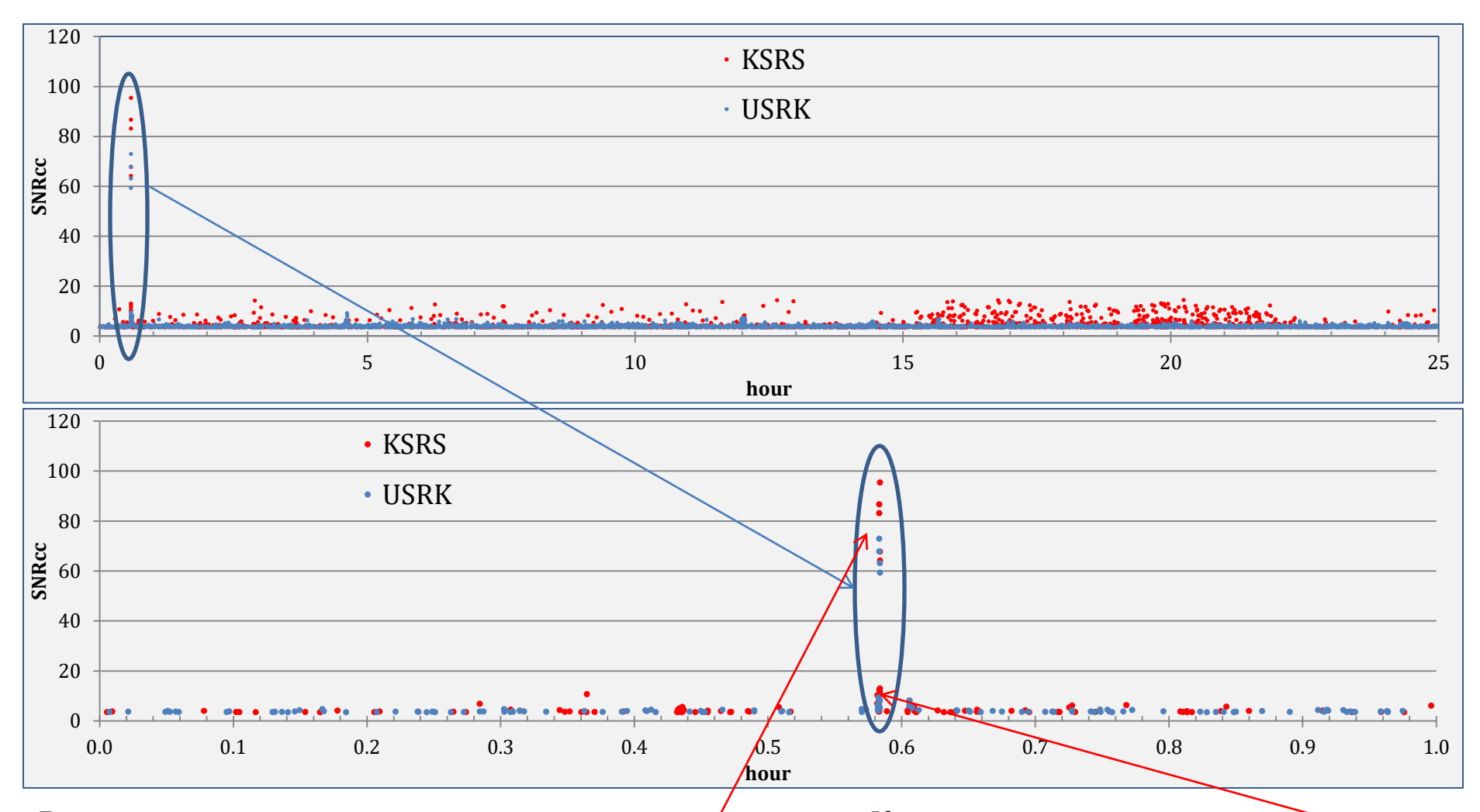


В методе мульти-мастера использовано всего 57 шаблонов волновых форм на станциях MCM USRK и KSRS



Сравнение кросс-корреляции взрывов и афтершоков на примере КНДР-5 (09.09.2016)



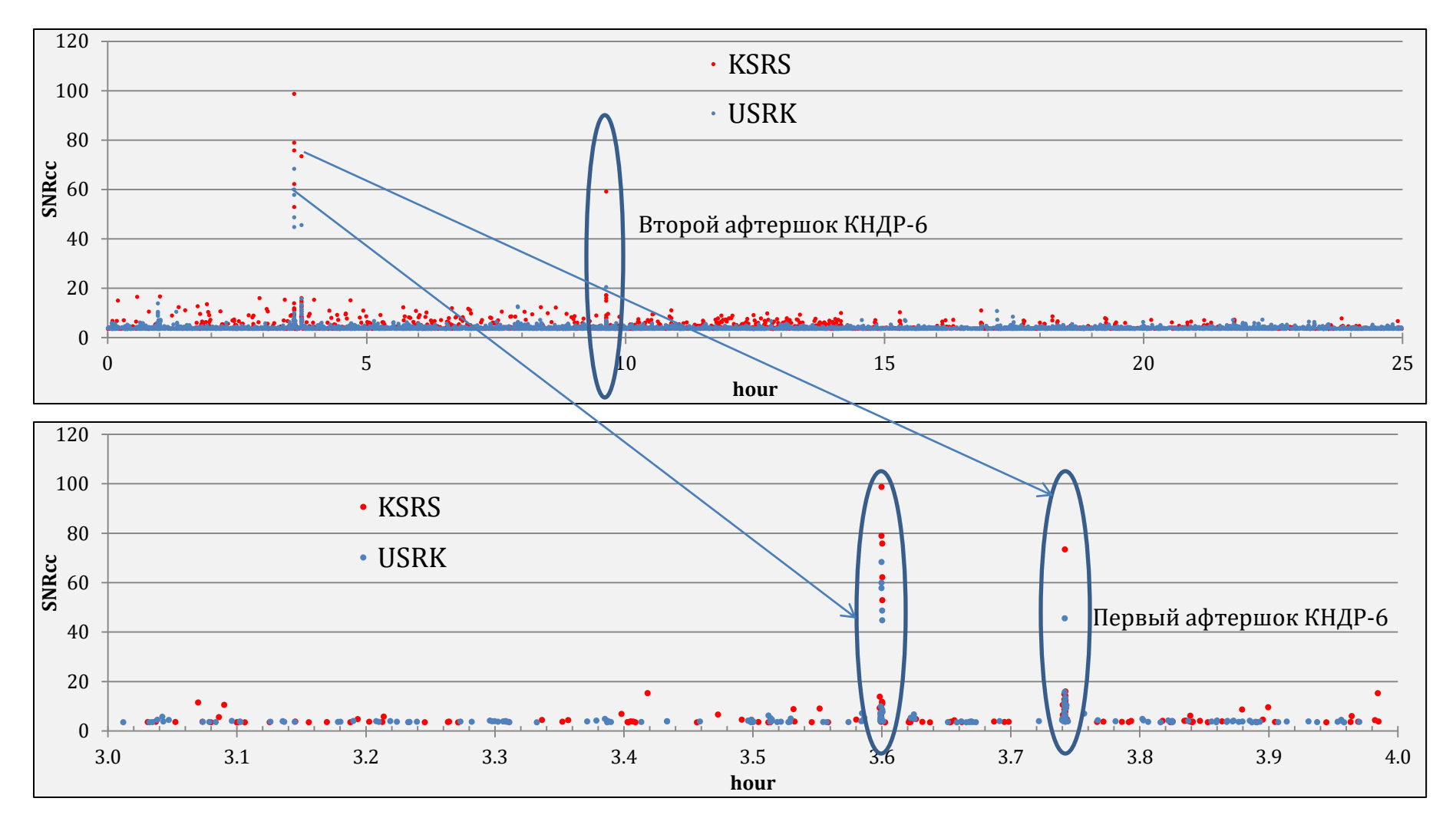


Высокая кросс-корреляция между сигналами взрывов. Корреляция сигналов взрывов и афтершоков гораздо ниже. Можно предполагать эффективное обнаружение взрывов с помощью сигналов взрывов.



Сравнение кросс-корреляции взрывов и афтершоков на примере КНДР-6 (03.09.2017). Сигналы от всех шаблонов, приведенные ко времени в источнике.



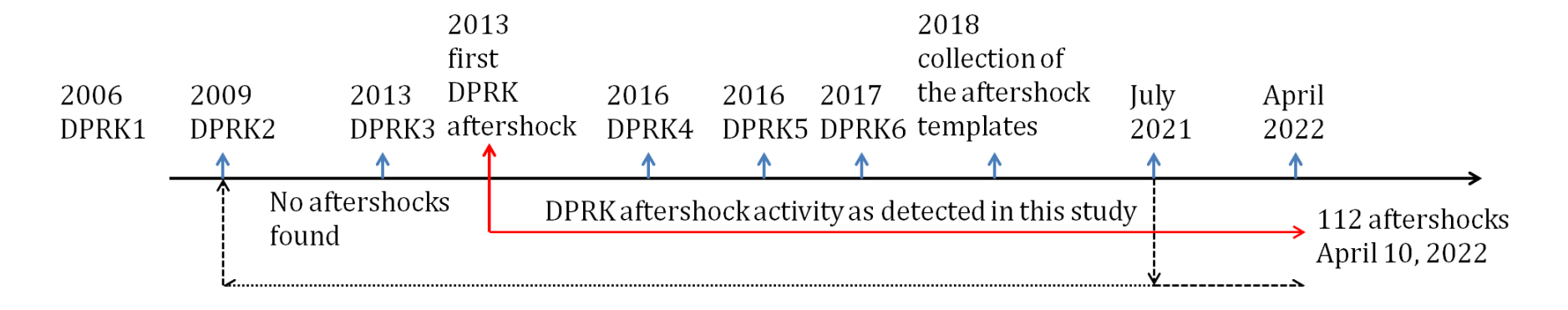


Кросс-корреляция между сигналами взрывов и афтершоков примерно такая же, как сигналов разных афтершоков. Для обнаружения афтершоков можно использовать сигналы от обоих типов источников.



Начиная с июля 2021 г. обработка шла в двух направлениях: прошлое и в реальном времени



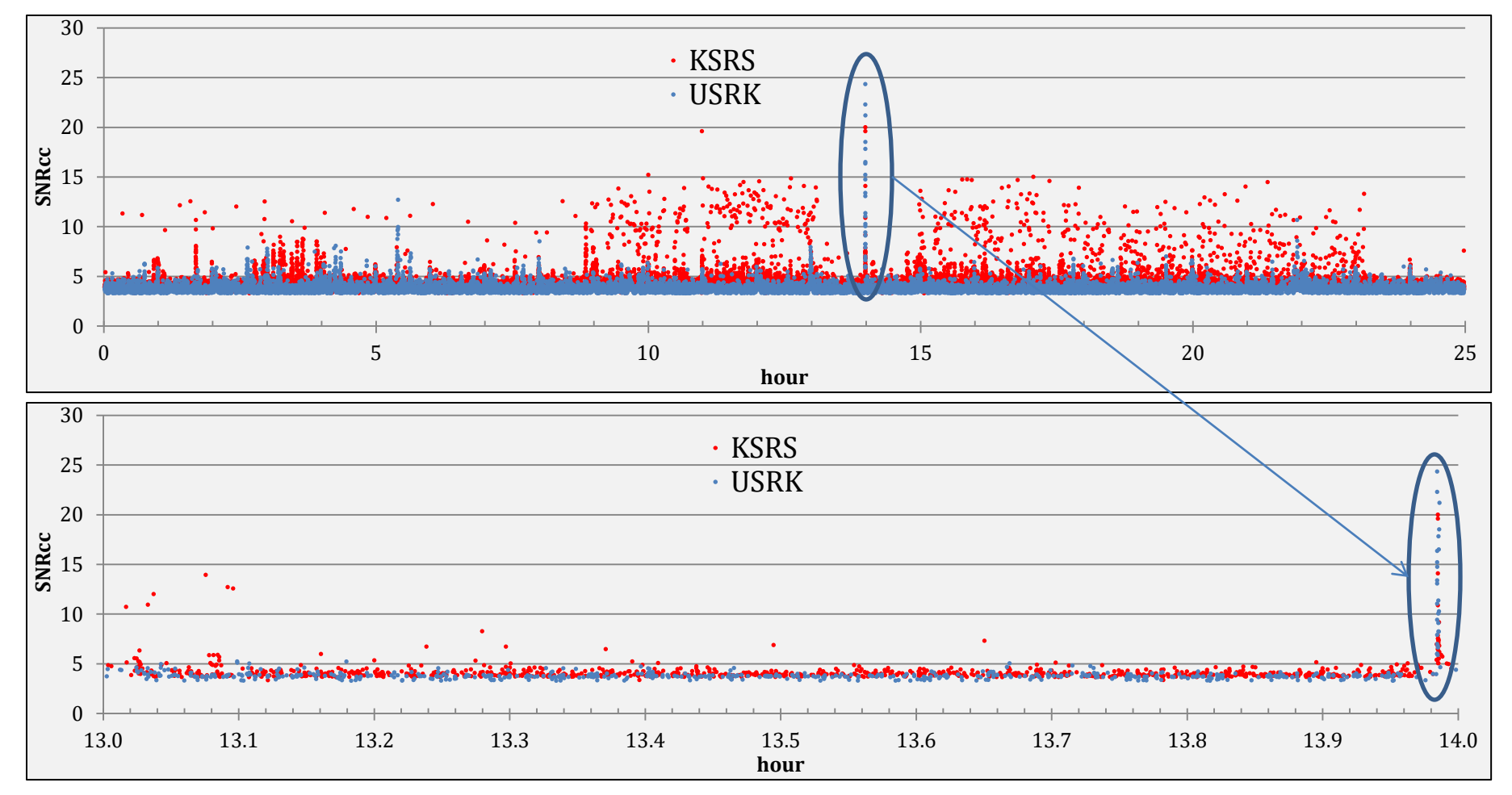


- 1. Обработка методом мульти-мастера проводится повторно в некоторых сегментах данных при повышении эффективности метода кросс-корреляции волновых форм.
- 2. Обработка использует один и тот же набор 57 шаблонов.
- 3. До 2009 г. станция USRK не работала. Оценить сейсмичность методом мульти-мастера не представляется возможным.
- 4. Между 2009 и 2013 гг. методом мульти-мастера не было обнаружено ни одного события, похожего на афтершоки взрывов на полигоне Пунгери.
- 5. В МЦД обработка продолжается в автоматическом режиме.
- 6. Поток событий не прекращается. Последнее событие было найдено 11 октября 2025 г. (jdate=2025284).



Событие 29 мая 2013 г. (jdate=2013149)



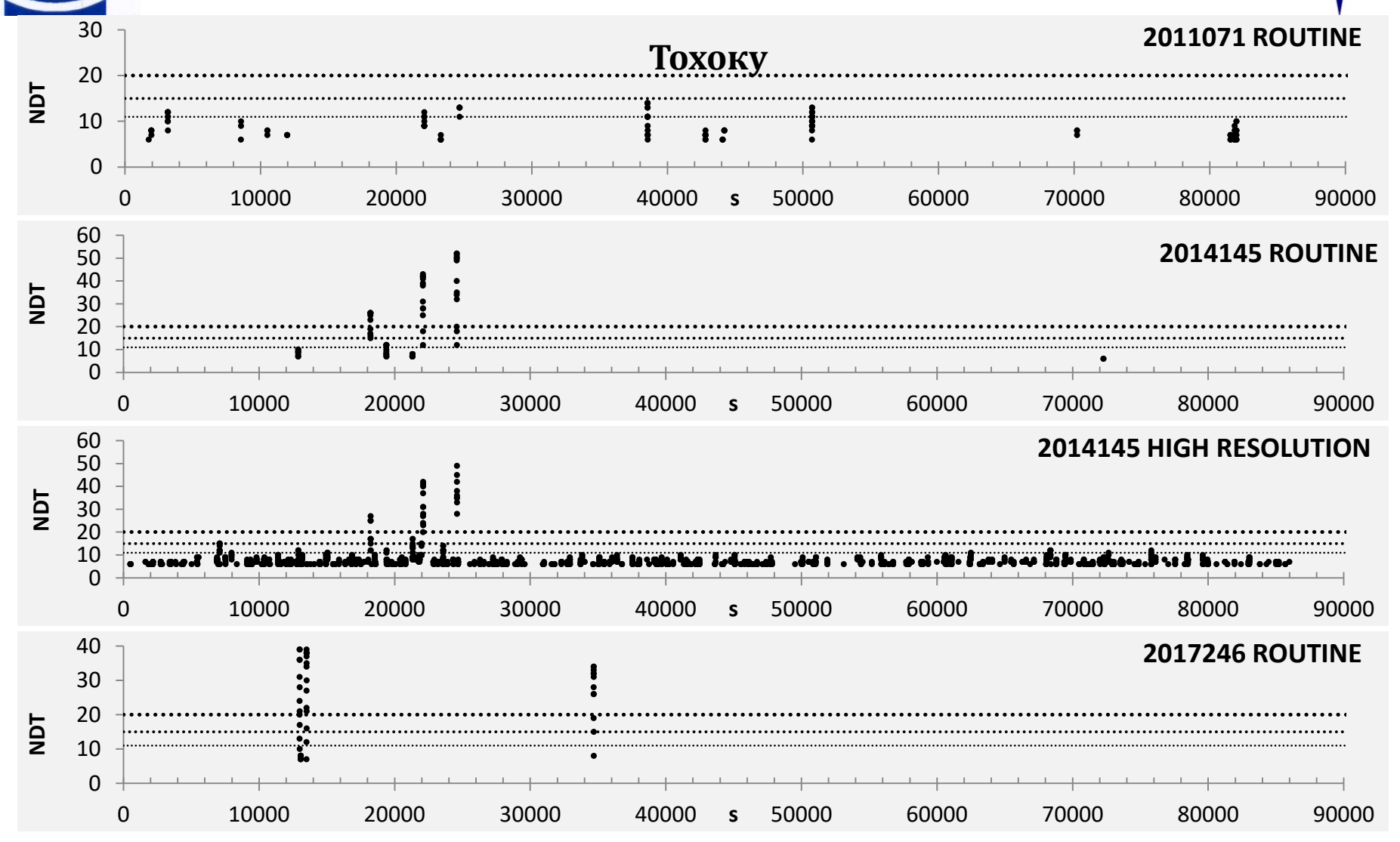


Фактически одно из первых событий, подобных афтершокам КНДР-5 и КНДР-6. Интерпретируется как возможное начало образования столба обрушения над полостью взрыва КНДР-3. Это и другие события до конца 2023 г. подтверждены аналитиками МЦД стандартными методами.



Число вступлений от 57 шаблонов в 8-секундном интервале после каждого вступления (приведенного ко времени в источнике)



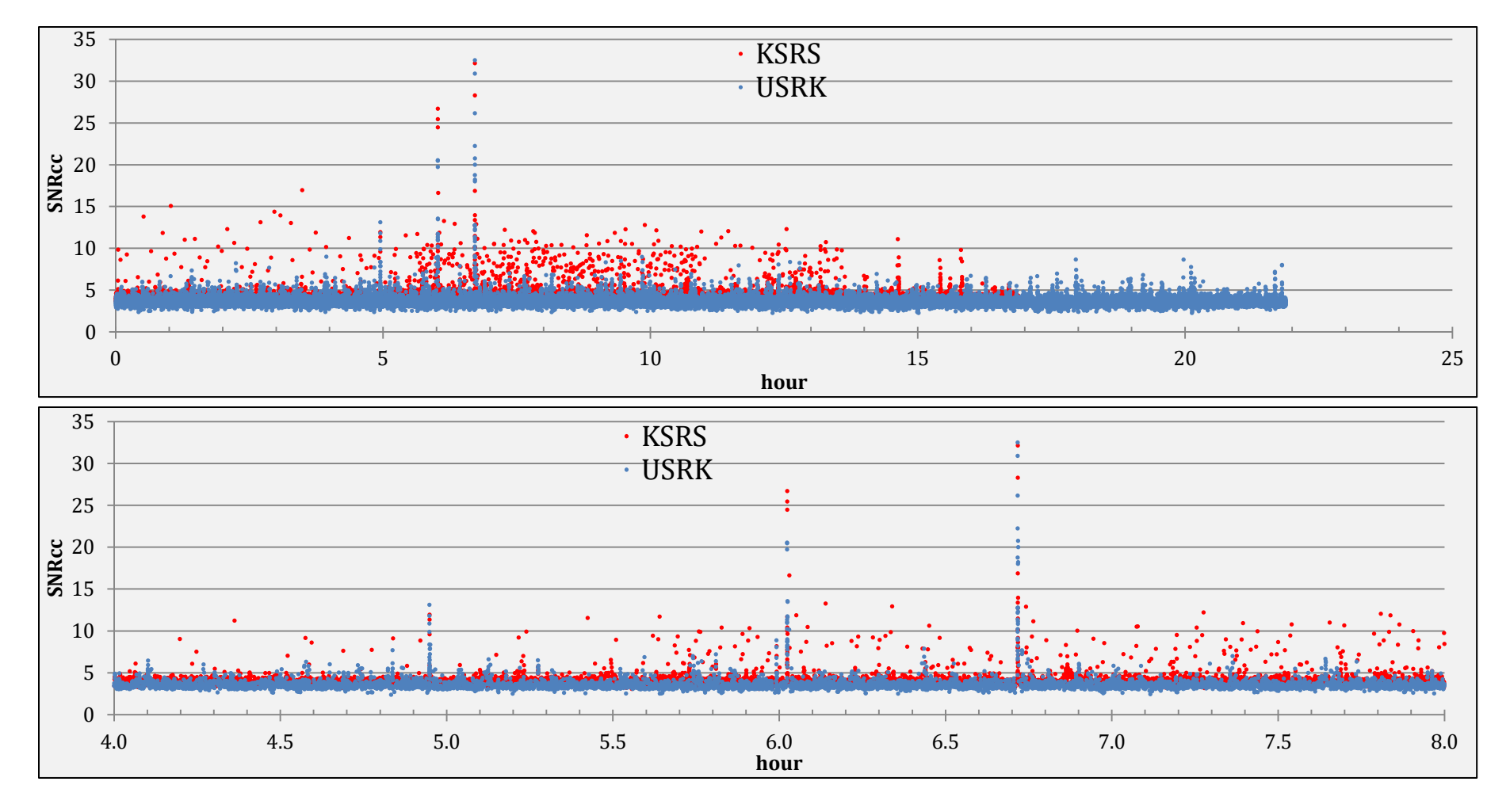


Статистический порог события – 20 ассоциированных вступлений (NDT). Порог обеспечивает поток ложных срабатываний < 1/год. С высоким разрешением обрабатываются дни, в которые есть события с 20>NDT>15.



События 25 мая 2014 г. (jdate=2014145)



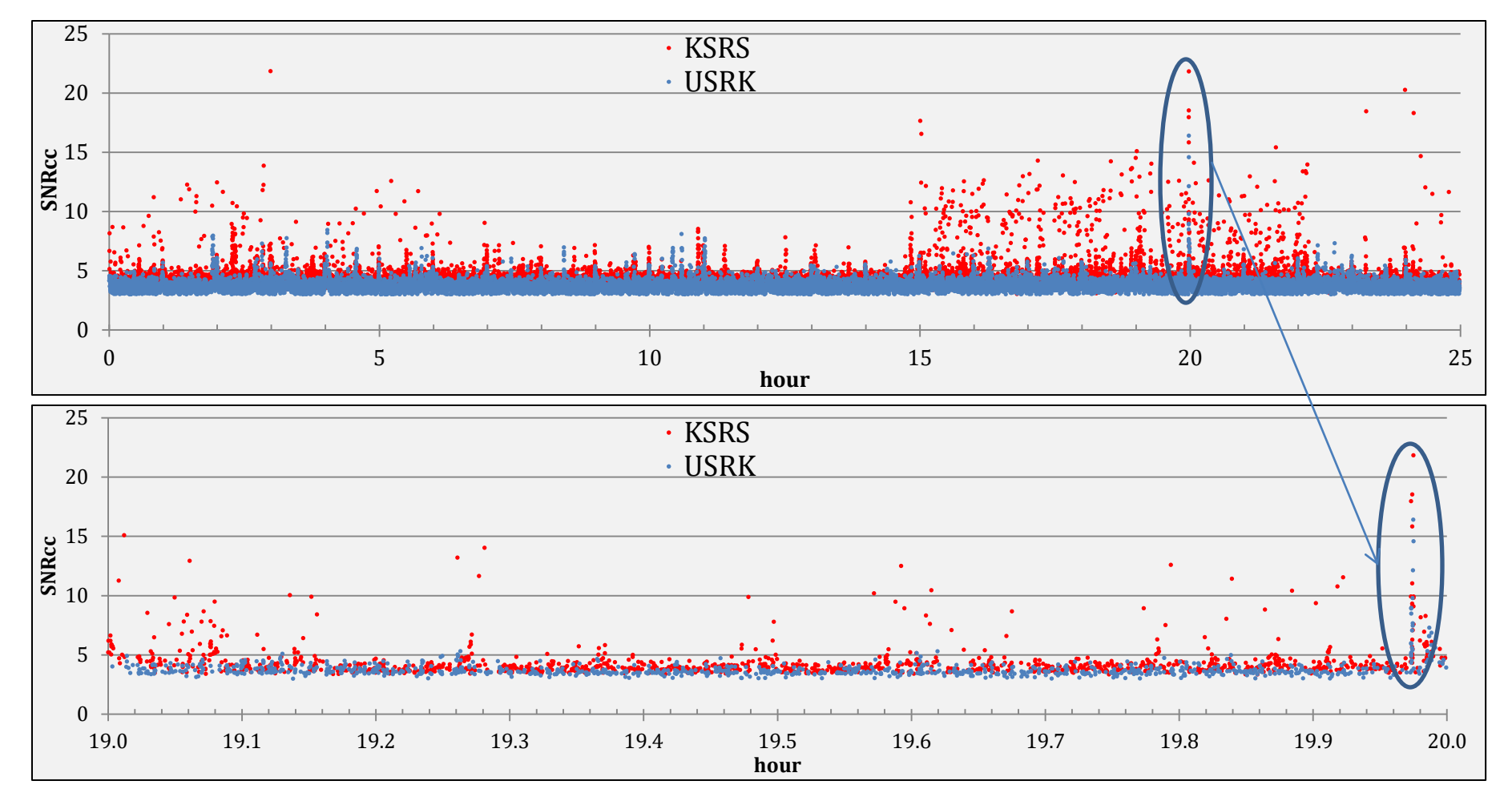


Последовательность из трех возрастающих по магнитуде событий, подобных афтершокам КНДР-5 и КНДР-6, произошедших в течение 2 часов. Интерпретируются как возможный коллапс полости взрыва КНДР-3.



События 3 июля 2016 г. (jdate=2016184)



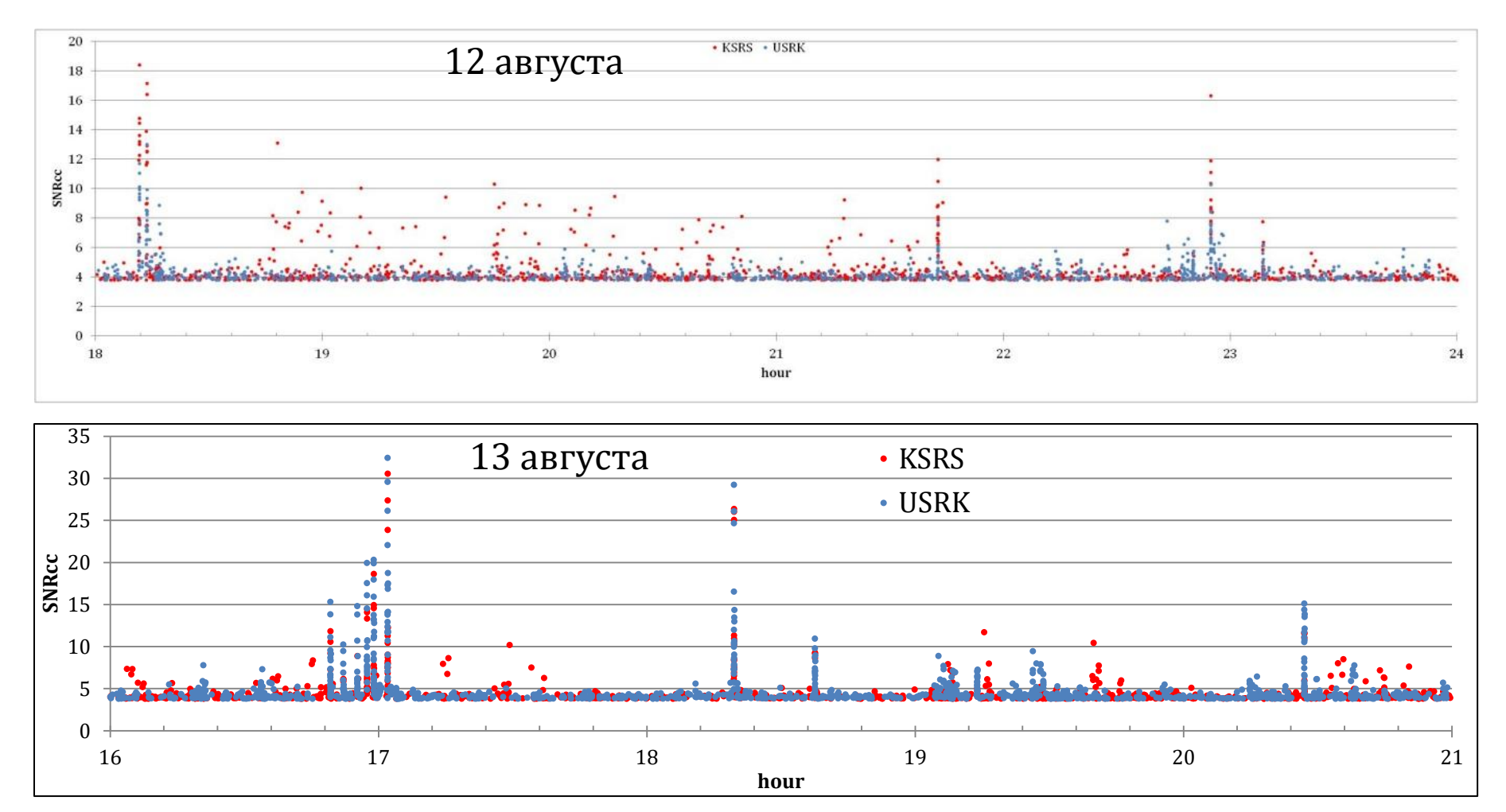


Событие, подобное афтершокам КНДР-5 и КНДР-6. Интерпретируется как возможное начало образования столба обрушения над полостью взрыва КНДР-4.



События 12(6) и 13(7) августа 2022 г.



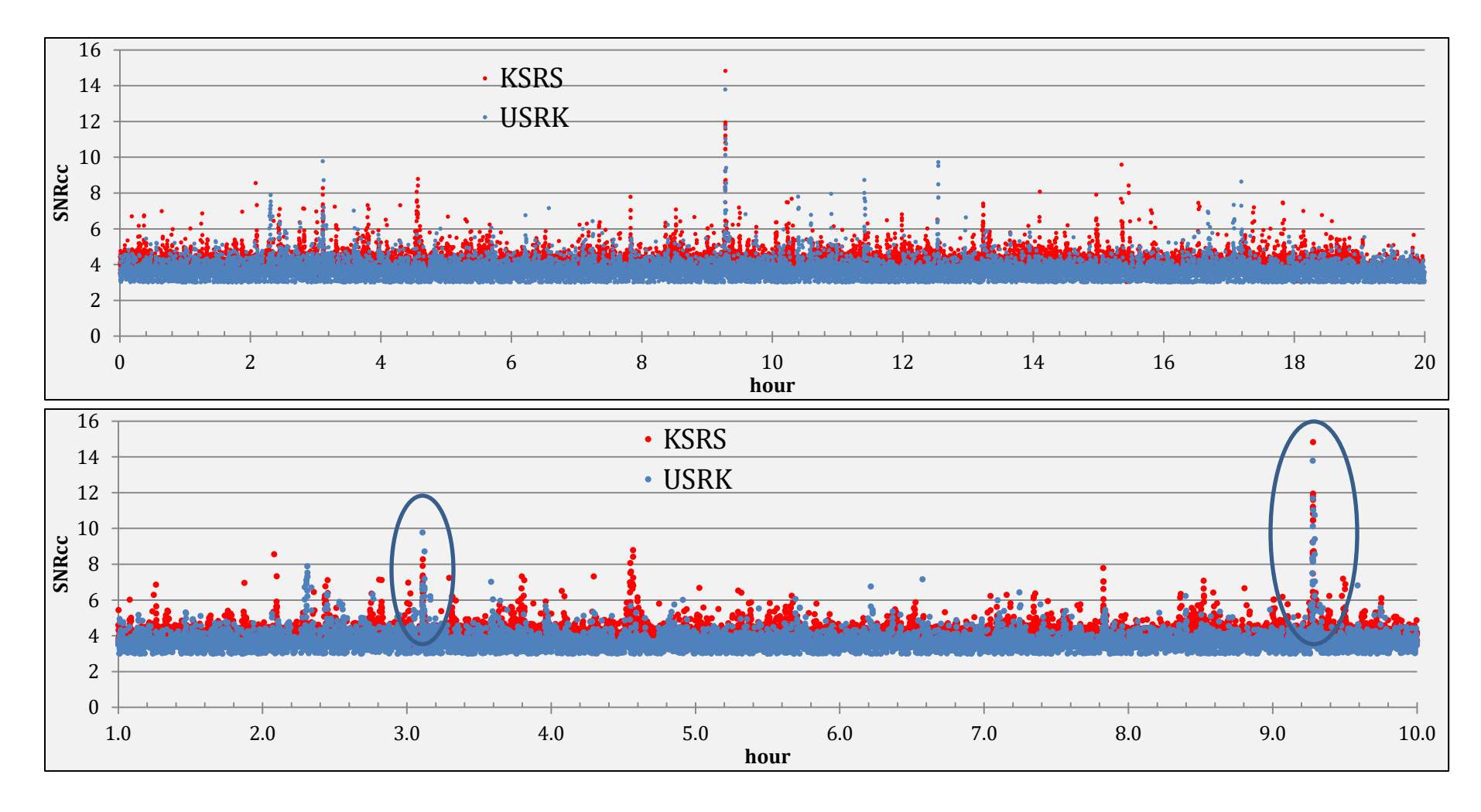


Самая интенсивная последовательность событий в течение 2 дней, подобных афтершокам КНДР-5 и КНДР-6. Возможно взаимодействие столбов обрушения КНДР-5 и КНДР-6.



События 22 июня 2025 г.



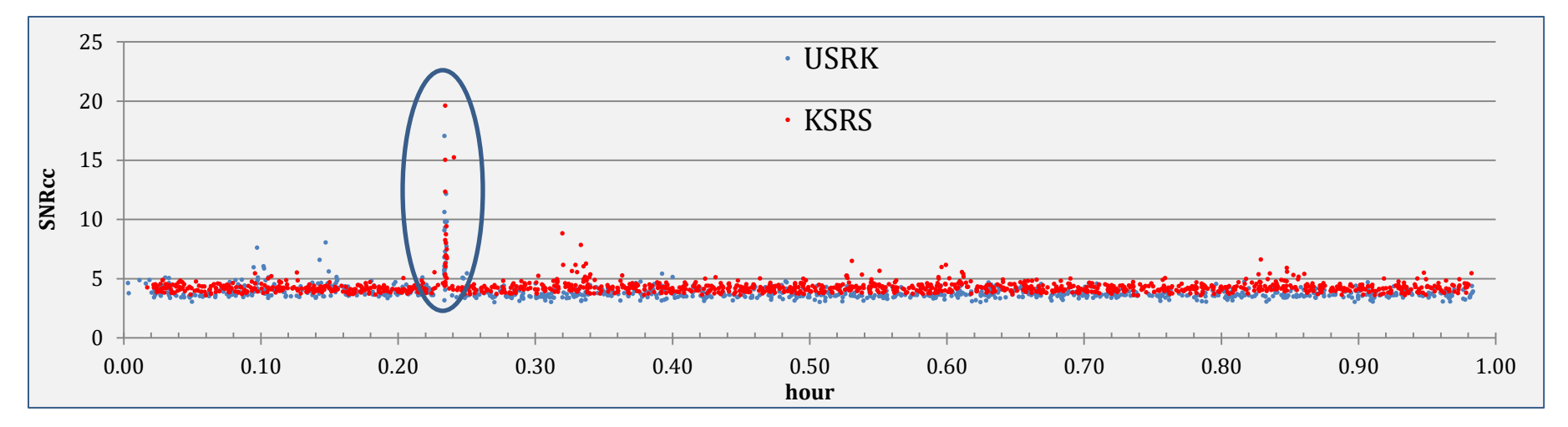


Два события, подобных афтершокам КНДР-5 и КНДР-6. Число ассоциированных шаблонов 29 и 30.



Событие 3 июля 2025 г.





Событие, подобное афтершокам КНДР-5 и КНДР-6. Число ассоциированных шаблонов 45.

Всего в 2025 г. автоматически обнаружено 14 событий, похожих на афтершоки взрывов КНДР.

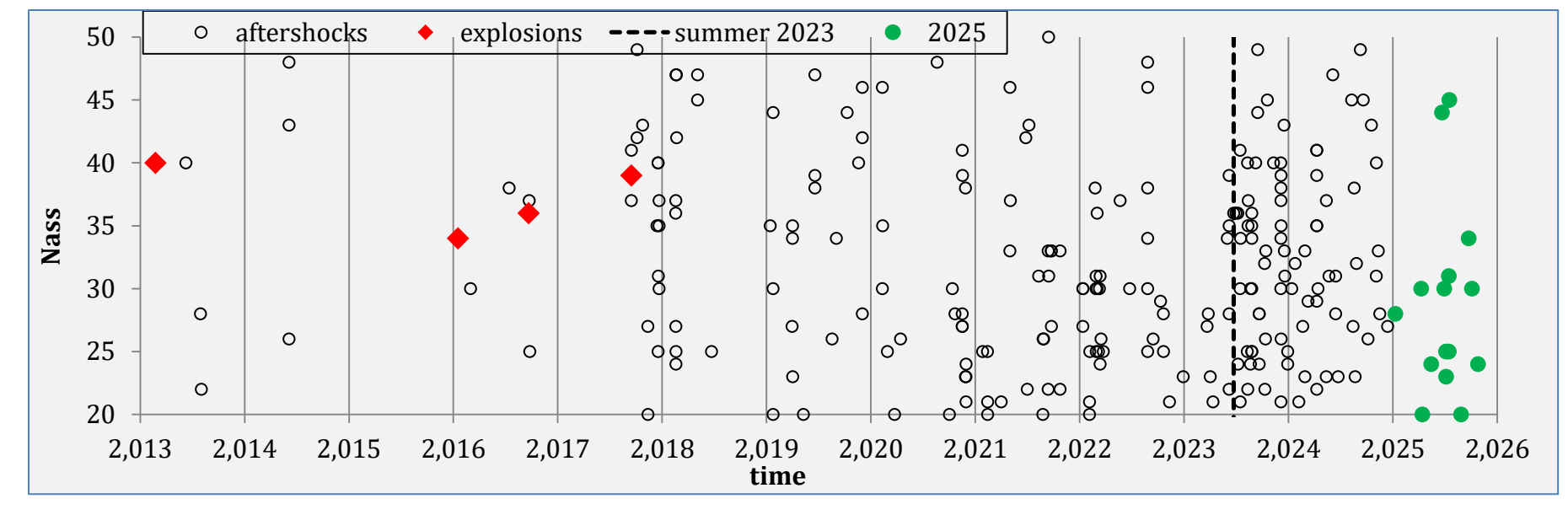
Непрерывная обработка продолжается. Выборочно применяются новые методы ККВФ.

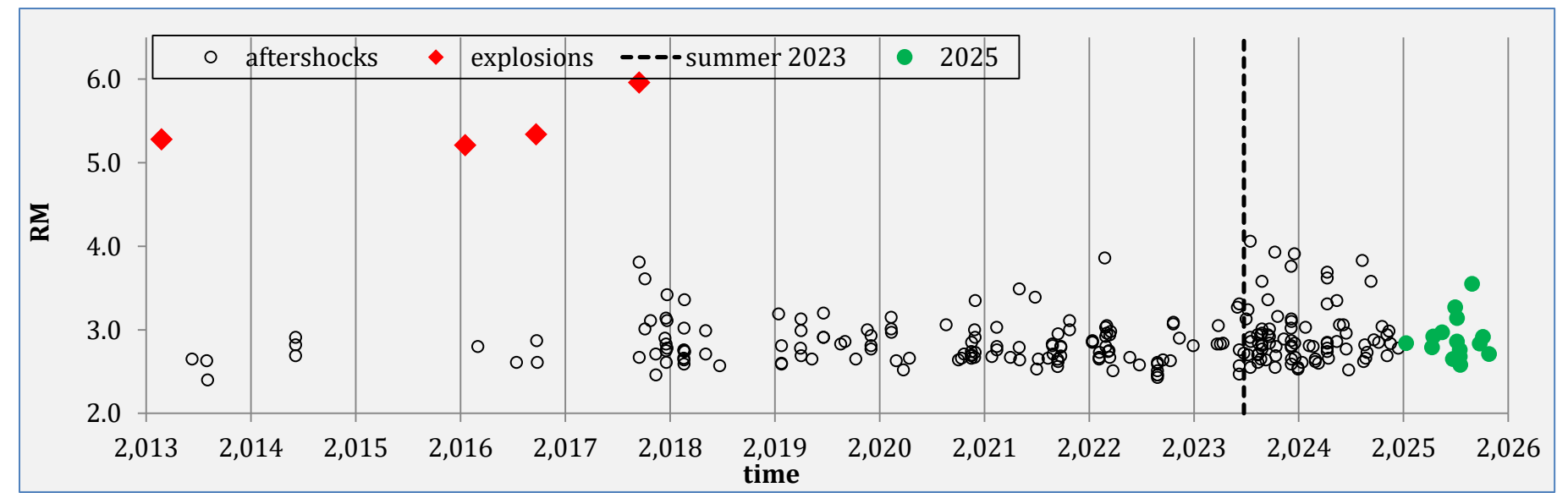
Все события проверяются на возможность обнаружить их сигналы на телесейсмических станциях с помощью ККВФ.



События на полигоне Пунгери по данным сейсмических групп MCM USRK KSRS: 2013-2025



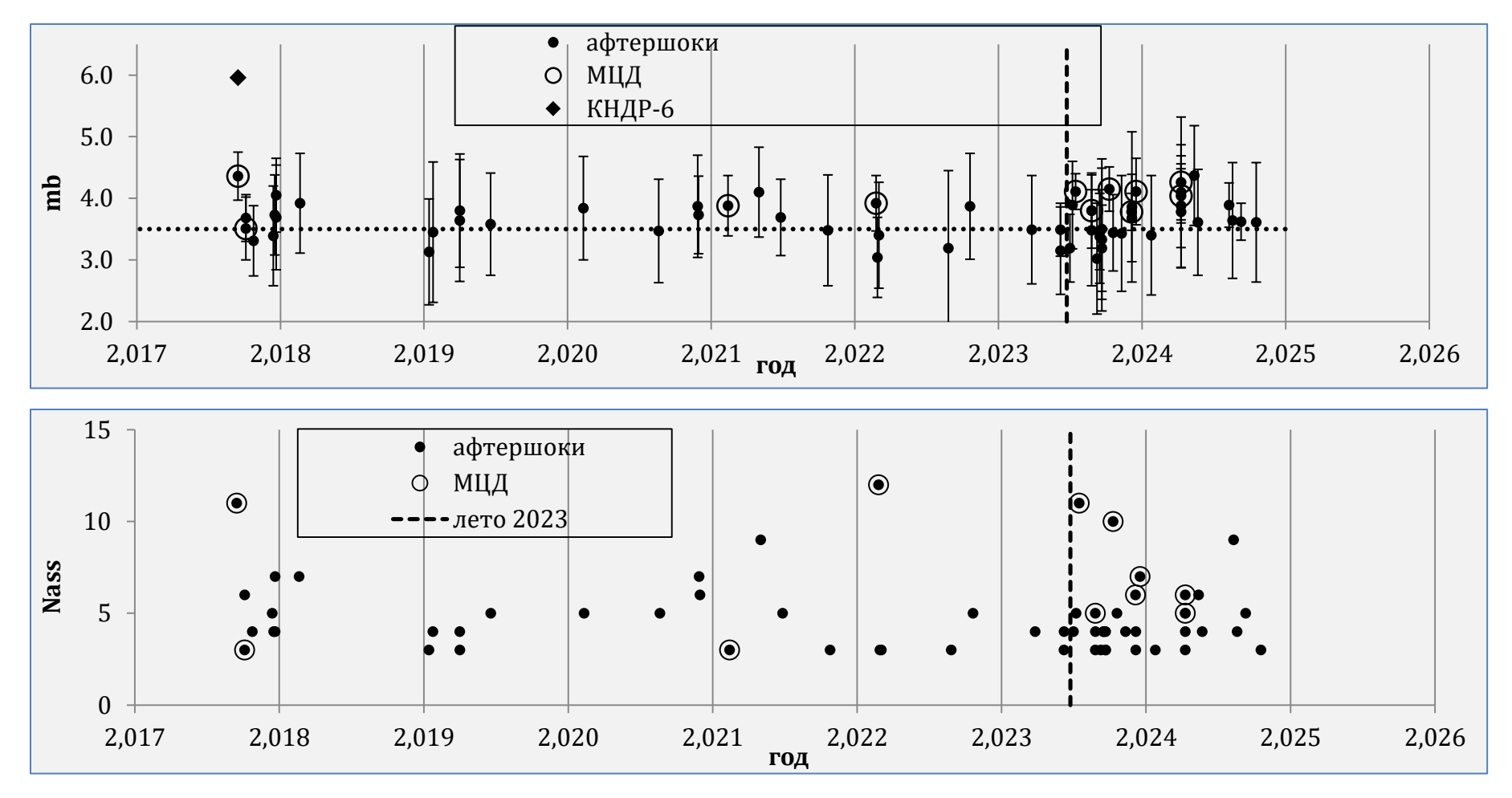






События на полигоне Пунгери по данным сети МСМ, полученные с помощью ККВФ: 2017-2025





В МЦД за весь период найдено 11 событий с ассоциированными телесейсмическими станциями МСМ. С помощью метода ККВФ обнаружено 61 событие из трех и более станций МСМ.



Вопрос



Что нужно, чтобы объяснить природу этих явлений?

